

1. TEORIA DE LA RELATIVITAT

- 1.1. La transformació de Galileu.
- 1.2. La transformació de Lorentz.
- 1.3. Dilatació del temps.
- 1.4. Contracció de la longitud.
- 1.5. Composició de velocitats.
- 1.6. Mecànica relativista.
- 1.7. Teoria general de la relativitat.

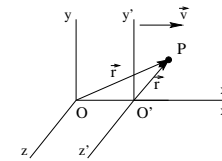
Slide 1

1.1. LA TRANSFORMACIÓ DE GALILEU

- Llei fonamental de la Mecànica: 2ona. llei de Newton

$$\sum \vec{F} = m\vec{a}$$

- Sistema de referència (SR): origen i eixos coordenats
- SR inercials: aquells pels quals $\vec{a} = 0$ quan $\sum \vec{F} = 0$.
- Descripció de moviments des de dos SR diferents:



Oxyz: SR inercial
 \vec{v} constant

- Transformació de Galileu:

$$\begin{array}{lll} x' = x - vt & u'_x = u_x - v & a'_x = a_x \\ y' = y & \longrightarrow u'_y = u_y & \longrightarrow a'_y = a_y \\ z' = z & u'_z = u_z & a'_z = a_z \end{array}$$

- Com que les acceleracions són iguals:
 - Tot SR que es mou amb velocitat constant respecte d'un SR inercial també és inercial.
 - Les lleis de la mecànica són les mateixes en tots els SR inercials.

Slide 2

1.2. LA TRANSFORMACIÓ DE LORENTZ

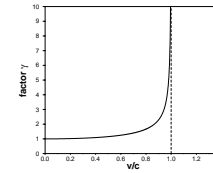
- Principi de relativitat:
 - “Les lleis de la natura són les mateixes en tots els SR inercials”
- Problema: les lleis de l'electromagnetisme (eqs. de Maxwell) no són invariants sota la transformació de Galileu.
- Postulats de la teoria especial de la relativitat (Einstein, 1905):
 - I. Les lleis de la natura són les mateixes en tots els SR inercials.
 - II. La velocitat de la llum és la mateixa des de tots els SR inercials.

Slide 3

- Transformació de Lorentz:

$$\begin{array}{lcl}
 x' = \frac{x - vt}{\sqrt{1 - v^2/c^2}} & & x' = \gamma(x - vt) \\
 y' = y & \longrightarrow & y' = y \\
 z' = z & & z' = z \\
 t' = \frac{t - vx/c^2}{\sqrt{1 - v^2/c^2}} & & t' = \gamma \left(t - \frac{vx}{c^2} \right)
 \end{array}$$

- Factor $\gamma = \frac{1}{\sqrt{1 - v^2/c^2}}$:



1.3. DILATACIÓ DEL TEMPS

- Considerem un rellotge que es mou amb velocitat v constant respecte d'un SR inercial $Oxyz$.
- Sigui $O'x'y'z'$ un SR que es mou solidàriament amb el rellotge.
 - Temps propi (des de $O'x'y'z'$): $T_0 = t'_2 - t'_1$ ($x'_1 = x'_2$)
 - Temps mesurat per $Oxyz$: $T = t_2 - t_1$
- Relació $T-T_0$: $T = \gamma T_0$
- Com que $\gamma \geq 1 \implies T \geq T_0$: el temps es dilata.

Slide 4

1.4. CONTRACCIÓ DE LA LONGITUD

- Considerem un regle que es mou amb velocitat v constant respecte d'un SR inercial $Oxyz$.
- Sigui $O'x'y'z'$ un SR que es mou solidàriament amb el regle.
 - Longitud pròpia (des de $O'x'y'z'$): $L_0 = x'_2 - x'_1$
 - Longitud mesurada per $Oxyz$: $L = x_2 - x_1$ ($t_1 = t_2$)
- Relació $L-L_0$: $L = L_0/\gamma$
- Com que $\gamma \geq 1 \implies L \leq L_0$: la longitud es contrau.

1.5. COMPOSICIÓ DE VELOCITATS

- Llei de composició de velocitats a partir de la transformació de Lorentz:

$$u'_x = \frac{u_x - v}{1 - vu_x/c^2}$$

$$u'_y = \frac{u_y}{\gamma(1 - vu_x/c^2)}$$

$$u'_z = \frac{u_z}{\gamma(1 - vu_x/c^2)}$$

- Propietat: si $u_x = c \implies u'_x = c \quad \forall v$

Slide 5

1.6. MECÀNICA RELATIVISTA

- Nova formulació de la llei de Newton:

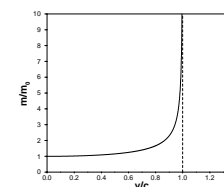
$$\sum \vec{F} = \frac{d\vec{p}}{dt} \quad \text{amb} \quad \vec{p} = m(v)\vec{v}$$

- Massa relativista:

$$m(v) = \frac{m_0}{\sqrt{1 - v^2/c^2}} = \gamma m_0$$

m_0 : massa en repòs

- Per tant, la massa augmenta amb la velocitat:



- Energia relativista:

$$E(v) = \frac{m_0 c^2}{\sqrt{1 - v^2/c^2}} \quad \longrightarrow \quad E = mc^2$$

- Energia en repòs: $E_0 = E(v = 0) = m_0 c^2$
- Energia cinètica: $T = (\gamma - 1)m_0 c^2$
- Relació energia-moment lineal:

$$E = \sqrt{p^2 c^2 + m_0^2 c^4}$$

Slide 6

1.7. TEORIA GENERAL DE LA RELATIVITAT

- Principi d'equivalència (Einstein, 1916):
 - “Un camp gravitatori homogeni és completament equivalent a un SR uniformement accelerat”
- Conseqüències:
 - La llum es desvia en presència de camps gravitoris.
 - Queda explicat l'excès de precessió de l'òrbita de Mercuri.
 - El temps es contrau en zones de potencial gravitatori elevat.
 - Objectes prou densos no deixen escapar la llum → forats negres.

Slide 7

2. FÍSICA QUÀNTICA

- 2.1. Radiació d'un cos negre.
- 2.2. Efecte fotoelèctric.
- 2.3. Efecte Compton.
- 2.4. Ones de matèria.
- 2.5. Principi d'incertesa de Heisenberg.
- 2.6. Equació de Schrödinger.
- 2.7. Quantització de l'energia.

Slide 8

2.1. RADIACIÓ D'UN COS NEGRE

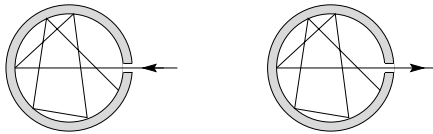
- Potència de radiació d'una superfície A a temperatura T :

$$P = e\sigma AT^4 \quad (\text{lei de Stefan-Boltzmann, 1879})$$

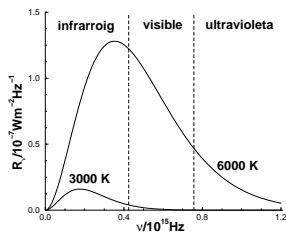
σ : constant de Stefan $\rightarrow \sigma = 5.67 \cdot 10^{-8} \text{ W}/(\text{m}^2\text{K}^4)$

e : emissivitat $\rightarrow 0 \leq e \leq 1$

- Cos negre: emissor/absorbent perfecte $\Rightarrow e = 1$



- Irradiància espectral emesa per un cos negre:



$$R_\nu = \frac{1}{A} \frac{dP}{d\nu}$$

- Teoria clàssica de Rayleigh-Jeans:

$$R_\nu = \frac{2\pi kT}{c^2} \nu^2 \quad \rightarrow \quad \text{catàstrofe ultravioleta}$$

Slide 9

- Hipòtesi de Planck (1900): l'energia està quantitzada

$$E = h\nu$$

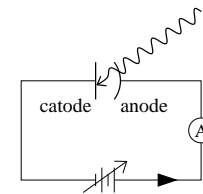
h : constant de Planck $\rightarrow h = 6.63 \cdot 10^{-34} \text{ J} \cdot \text{s}$

- La hipòtesi de Planck resol la catàstrofe ultravioleta:

$$R_\nu = \frac{2\pi h\nu^3}{c^2 [\exp(h\nu/kT) - 1]}$$

2.2. EFECTE FOTOELÈCTRIC

- Efecte fotoelèctric: emissió d'electrons per part d'un material quan sobre la superfície d'aquest incideix llum.



Funció de treball ϕ : energia mínima necessària per arrencar un electró

- Característiques principals d'aquest efecte:
 - Existeix una freqüència llindar ν_0 .
 - El potencial de frenada no depèn de la intensitat.
 - El potencial de frenada depèn linealment de la freqüència.
 - No existeix retard entre l'absorció de llum i l'emissió d'electrons.

Slide 10

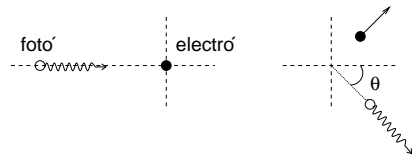
- Teoria corpuscular d'Einstein (1905):

la llum de freqüència ν és un flux de partícules d'energia: $E = h\nu$

- Fotó: partícula que viatja a la velocitat de la llum
 \implies la seva massa en repòs ha de ser 0.
- Moment d'un fotó: $p = \frac{h}{\lambda}$

2.3. EFECTE COMPTON

- Efecte Compton: canvi en la longitud d'ona de la llum en ser dispersada per electrons



- Conservació de l'energia i la quantitat de moviment:

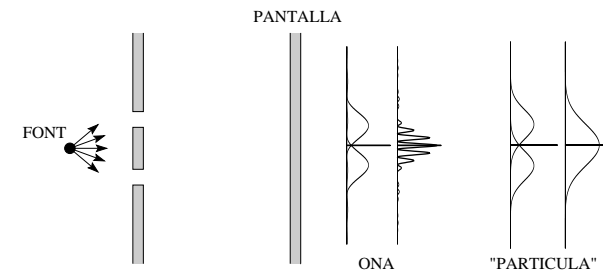
$$\lambda' - \lambda = \frac{h}{mc}(1 - \cos \theta)$$

- Longitud d'ona Compton: $\lambda_C = h/mc = 2.4 \cdot 10^{-12} \text{ m}$

Slide 11

2.4. ONES DE MATÈRIA

- Dualitat ona-partícula: no restringida a la llum, també afecta a la matèria.
- Longitud d'ona de de-Broglie (1924): $\lambda = \frac{h}{p}$
- Confirmació experimental del caràcter ondulatori de la matèria:
 - Difracció d'electrons: Davisson y Germer (1927).
 - Experiment de la doble escletxa de Young:



- Interpretació física de les ones de matèria: són ones de probabilitat.

Slide 12

2.5. RELACIONS D'INCERTESA DE HEISENBERG

- Principi d'incertesa (Heisenberg, 1927):

“La posició i moment d'una partícula no es poden mesurar simultàniament amb precisió absoluta.”

$$\Delta x \Delta p_x \geq \frac{1}{2} \hbar \quad (\hbar \equiv \frac{h}{2\pi})$$

- Relació d'incertesa energia-temps: $\Delta E \Delta t \geq \frac{1}{2} \hbar$.

2.6. EQUACIÓ DE SCHRÖDINGER

- Funció d'ona $\psi(x, y, z)$:

$|\psi(x, y, z)|^2 dx dy dz \rightarrow$ probabilitat de que la partícula es trobi en el volum $dV = dx dy dz$

- Explicació de la interferència:

$$|\psi|^2 = |\psi_1 + \psi_2|^2 = |\psi_1|^2 + |\psi_2|^2 + 2\psi_1\psi_2 \cos \delta$$

- Equació de Schrödinger independent del temps:

$$-\frac{\hbar^2}{2m} \left(\frac{\partial^2 \psi}{\partial x^2} + \frac{\partial^2 \psi}{\partial y^2} + \frac{\partial^2 \psi}{\partial z^2} \right) + U(x, y, z) \psi = E \psi$$

- Equació de Schrödinger dependent del temps:

$$-\frac{\hbar^2}{2m} \left(\frac{\partial^2 \Psi}{\partial x^2} + \frac{\partial^2 \Psi}{\partial y^2} + \frac{\partial^2 \Psi}{\partial z^2} \right) + U(x, y, z) \Psi = i\hbar \frac{\partial \Psi}{\partial t}$$

2.7. QUANTITZACIÓ DE L'ENERGIA

- Cas 1: pou de potencial infinit (1-d)

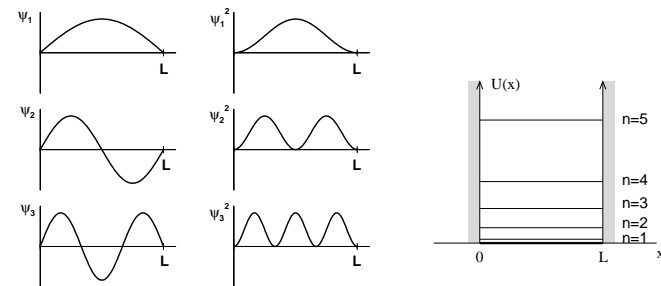
$$U = \begin{cases} 0 & 0 < x < L \\ \infty & x < 0, x > L \end{cases}$$

- Espectre d'energies:

$$E_n = \frac{\hbar^2 \pi^2}{2mL^2} n^2 \quad (n = 1, 2, 3, \dots)$$

- Funció d'ona:

$$\psi_n(x) = \sqrt{\frac{2}{L}} \sin\left(\frac{n\pi x}{L}\right) \quad (n = 1, 2, 3, \dots)$$



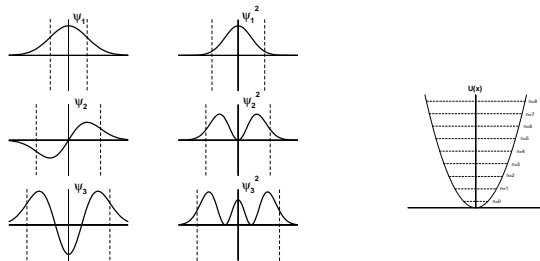
- Cas 2: oscil.lador harmònic (1-d):

$$U(x) = \frac{1}{2}m\omega^2x^2$$

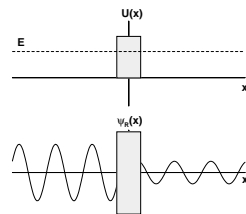
– Espectre d'energies: $E_n = (n + \frac{1}{2}) \hbar\omega$ ($n = 0, 1, \dots$)

– Funció d'ona:

$$\psi_n(x) = f_n(x) e^{-x^2/2a^2} \quad (f_n(x) : \text{polinomi de grau } n)$$



- Efecte túnel:



Slide 15

3. ESTRUCTURA NUCLEAR I ATÒMICA

- 3.1. Estructura del nucli.
- 3.2. Forces nuclears i energia de lligam.
- 3.3. Estabilitat dels núclids.
- 3.4. Desintegració radioactiva.
- 3.5. Reaccions nuclears.
- 3.6. Espectres d'emissió.
- 3.7. Model de Bohr de l'àtom d'hidrògen.
- 3.8. Teoria quàntica de l'àtom d'hidrògen.

Slide 16

3.1. ESTRUCTURA DEL NUCLI

- Concepte de nucli: Rutherford (1911)
- Constituents del nucli: nucleons

	massa	càrrega
protó	$1.674 \cdot 10^{-27} \text{ kg}$	$+e$
neutró	$1.675 \cdot 10^{-27} \text{ kg}$	0
(electró	$0.911 \cdot 10^{-30} \text{ kg}$	$-e$

- Representació d'un núclid: $\boxed{\begin{matrix} A \\ Z \end{matrix} X}$
 - Z : nombre atòmic (de protons)
 - A : nombre màssic (de nucleons)

$$\bullet \text{ X i X' son } \begin{cases} \text{isòtops} \iff Z=Z' \\ \text{isòbars} \iff A=A' \\ \text{isòtons} \iff N=N' \end{cases}$$

- Radi nuclear: $R \approx R_0 A^{1/3}$, $R_0 = 1.1 \text{ fm}$
- Unitat de massa atòmica: $1 u = 1.6605402 \cdot 10^{-27} \text{ kg}$
- Energia en repòs associada a $1 u$: 931.5 MeV

Slide 17

Objecte	Massa, u	Objecte	Massa, u
e	0.0005486	^{27}Al	26.981541
p	1.0072766	^{56}Fe	55.934939
n	1.0086652	^{87}Rb	86.909186
^1H	1.0078252	^{103}Rh	102.90550
^2H	2.014102	^{123}Te	122.904277
^3He	3.016029	^{197}Au	196.96656
^4He	4.002603	^{226}Ra	226.025406
^{12}C	12.000000	^{232}Th	232.038054
^{14}N	14.003074	^{235}U	235.043925
^{16}O	15.994915	^{238}U	238.050786

3.2. FORCES NUCLEARS I ENERGIA DE LLIAM

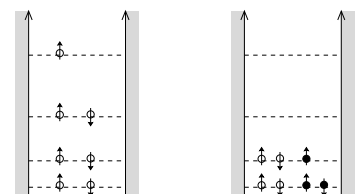
- Força d'interacció entre nucleons: força nuclear forta
 - independent de la càrrega
 - molt curt abast ($\sim 10^{-14} \text{ m}$)
 - molt intensa
- Energia de lligam: $\boxed{B = (ZM_H + Nm_n - M_a)c^2}$
- Energia de lligam per nucleó B/A : útil per comparar diferents núclids.
- Model de la gota líquida:

$$\frac{B}{A} = C_1 - C_2 A^{-1/3} - C_3 Z(Z-1)A^{-4/3}$$

Slide 18

3.3. ESTABILITAT DELS NÚCLIDS

- Característiques dels núclids estables:
 - Núclids lleugers: $Z \approx N$
 - Núclids pesats: $Z \lesssim N$
- Nombres màgics:
 - $Z = 2, 8, 20, 28, 50, 82$
 - $N = 2, 8, 20, 28, 50, 82, 126$
- Model de capes:
 - Nucleons: partícules “independents”
 - Principi d'exclusió de Pauli: dos nucleons no poden ocupar el mateix estat quàntic

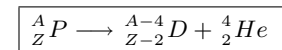


- Z gran: la repulsió electrostàtica comença a ser rellevant

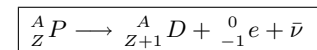
Slide 19

3.4. DESINTEGRACIÓ RADIATIVA

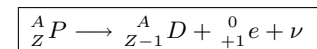
- Desintegració radioactiva (Becquerel, 1896)
 - ↪ radiació α , β i γ
- Ritme de desintegració: $dN = -\lambda N dt \rightarrow N = N_0 e^{-\lambda t}$
 - Vida mitja: $T_{1/2} = \frac{\ln 2}{\lambda}$
- Desintegració α : el nucli emet una partícula alfa



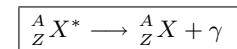
- Energia de desintegració: $Q_\alpha = (M_P - M_D - M_{He})c^2$
- Mecanisme de decaïment: efecte túnel
- Desintegració β^- : el nucli emet un electró



- Energia de desintegració: $Q_\alpha = (M_P - M_D)c^2$
- Desintegració β^+ : el nucli emet un positró



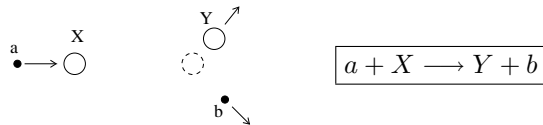
- Energia de desintegració: $Q_\alpha = (M_P - M_D - 2m_e)c^2$
- Desintegració γ : el nucli emet un fotó



Slide 20

3.5. REACCIONS NUCLEARS

- Transformació d'un núclid X en un altre Y mitjançant una partícula incident a :



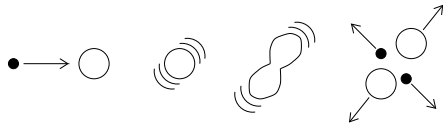
- Energia de reacció:

$$Q = [(m_a + M_X) - (M_Y + m_b)]c^2$$

$Q > 0$: reacció exotèrmica

$Q < 0$: reacció endotèrmica

- **Fisió nuclear:** divisió d'un nucli gran en dos petits



- Reacció exotèrmica
- Reacció en cadena \longrightarrow massa crítica
- Els productes són radiactius

- **Fusió nuclear:** unió de dos nuclis petits

- Més energètica que la fisió
- Més neta que la fisió

Slide 21

3.6. ESPECTRES D'EMISSIÓ

- Llum emesa per una cavitat: espectre continu
Llum emesa per una làmpara de gas: espectre discret
(espectre de línies)



ESPECTRE CONTINU

ESPECTRE DE LÍNIES

- Espectre de l'hidrògen: fórmula de Rydberg

$$\frac{1}{\lambda} = R_H \left(\frac{1}{m^2} - \frac{1}{n^2} \right) \quad (n = m + 1, m + 2, \dots)$$

$R_H = 1.097 \cdot 10^7 \text{ m}^{-1}$ constant de Rydberg

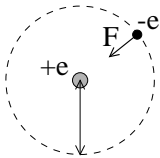
- Sèries espectrals:

- $m=1$: sèrie de Lyman (ultravioleta)
- $m=2$: sèrie de Balmer (visible)
- $m=3$: sèrie de Paschen (infrarroig)
- $m=4$: sèrie de Brackett (infrarroig)
- $m=5$: sèrie de Pfund (infrarroig)

Slide 22

3.7. MODEL DE BOHR DE L'ÀTOM D'HIDRÒGEN

- Electrò: òrbita circular al voltant del protó



- Energia de l'electró:

$$E = -\frac{e^2}{8\pi\epsilon_0 r}$$

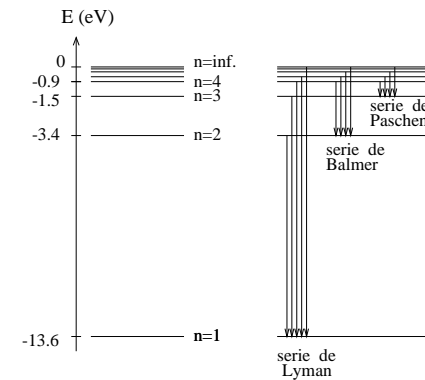
- Model planetari: inconsistent per partícules carregades
- Hipòtesis de Bohr:
 - Existència d'òrbites estacionàries
 - Quantització del moment angular: $L = n\hbar$
- Energia dels estats estacionaris de l'àtom d'hidrogen:

$$E_n = -\frac{me^4}{8\epsilon_0^2 h^2 n^2} \quad (n = 1, 2, 3, \dots)$$

- Valor de la constant de Rydberg:

$$R_H = \frac{me^4}{8\epsilon_0^2 h^3 c}$$

- Espectre de l'àtom d'hidrogen:



3.8. TEORIA QUÀNTICA DE L'ÀTOM D'HIDRÒGEN

- Equació de Schrödinger per a l'electró a l'àtom d'H:

$$-\frac{\hbar^2}{2m_e} \left(\frac{\partial^2 \psi}{\partial x^2} + \frac{\partial^2 \psi}{\partial y^2} + \frac{\partial^2 \psi}{\partial z^2} \right) + U\psi = E\psi$$

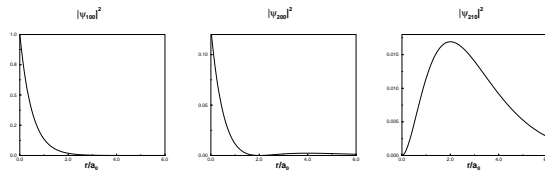
amb $U = -\frac{e^2}{4\pi\epsilon_0 r}$

- Funció d'ona de l'electró: $\psi_{nlm}(r, \theta, \phi)$

$$\psi_{100} = \frac{1}{\sqrt{\pi a_0^3}} e^{-r/a_0}$$

$$\psi_{200} = \frac{1}{\sqrt{8\pi a_0^3}} \left(1 - r \frac{r}{2a_0}\right) e^{-r/2a_0}$$

$$\psi_{210} = \frac{1}{\sqrt{32\pi a_0^5}} r e^{-r/2a_0} \cos \theta$$



- Nombres quàntics:

n Nombre quàntic principal

$$E_n = -\frac{me^4}{8\epsilon_0^2 h^2 n^2} \quad (n = 1, 2, 3, \dots)$$

ℓ Nombre quàntic del moment angular

$$L = \sqrt{\ell(\ell+1)}\hbar \quad (\ell = 0, 1, 2, \dots, n-1)$$

m Nombre quàntic de la component L_z

$$L_z = m\hbar \quad (m = 0, \pm 1, \pm 2, \dots, \pm \ell)$$

m_s Nombre quàntic d'espín

$$S_z = m_s \hbar \quad (m_s = -1/2, 1/2)$$

Slide 25

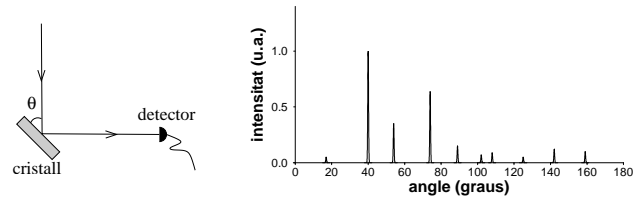
4. FÍSICA DE L'ESTAT SÒLID

- 4.1. Estructura cristal·lina.
- 4.2. Model de Drude.
- 4.3. Model d'electrons lliures.
- 4.4. Bandes d'energia.
- 4.5. Superconductivitat.

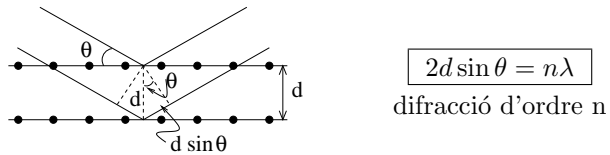
Slide 26

4.1. ESTRUCTURA CRISTAL·LINA

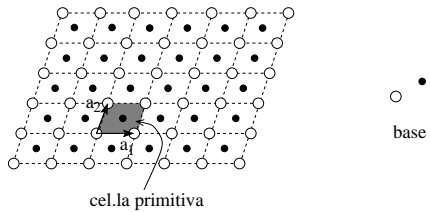
- Difracció d'ones per cristalls



- Llei de Bragg:

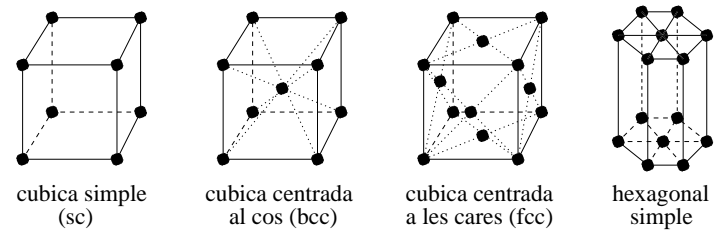


- Xarxa cristal·lina: $\vec{r} = u_1\vec{a}_1 + u_2\vec{a}_2 + u_3\vec{a}_3$

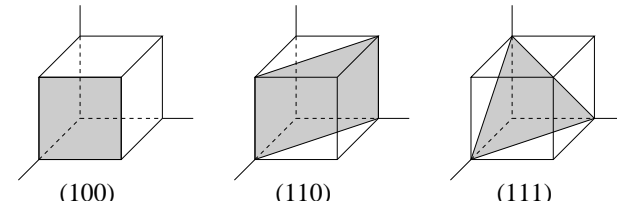


$(\vec{a}_1, \vec{a}_2, \vec{a}_3)$: vectors primitius

- 14 tipus de xarxes cristal·lines (xarxes de Bravais)

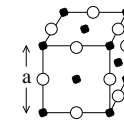


- Sistema d'indexos pels plànols cristal·lins:



- Estructures cristal·lines típiques:

- ★ Estructura del clorur de sodi:

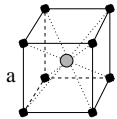


xarxa: fcc amb $a=5.63\text{\AA}$
base: Cl^- a $(0,0,0)$, Na^+ a $(\frac{1}{2},0,0)$

Altres: LiH, MgO, KCl

• Estructures cristal·lines típiques:

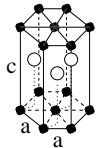
★ Estructura del clorur de cesi:



xarxa: bcc amb $a=4.11\text{\AA}$
 base: Cl^- a $(0,0,0)$, Cs^+ a $(\frac{1}{2}, \frac{1}{2}, \frac{1}{2})$

Altres: AlNi, TlBr

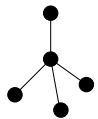
★ Estructura hexagonal compacta (hcp):



xarxa: hexagonal
 base: $(0,0,0)$ i $(\frac{2}{3}, \frac{1}{3}, \frac{1}{2})$

Cristalls: la majoria de gasos inerts, Mg, Zn, Co

★ Estructura del diamant:



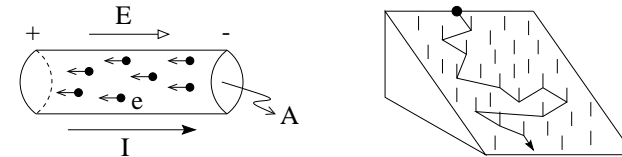
xarxa: fcc
 base: $(0,0,0)$ i $(\frac{1}{4}, \frac{1}{4}, \frac{1}{4})$

Cristalls: C ($a=3.56\text{\AA}$), Si ($a=5.43\text{\AA}$), Ge ($a=5.65\text{\AA}$)

- Excitacions elàstiques als cristalls \rightarrow phonons
 $(10^{12}-10^{13} \text{ Hz})$

4.2. MODEL DE DRUDE

• Conducció elèctrica als sòlids:



• Model de Drude (1900):

- Els electrons lliures interaccionen amb els ions positius de la xarxa mitjançant col·lisions
- Entre col·lisions, els electrons es mouen quasi lliurement, sotmesos únicament al camp elèctric

• Llei d'Ohm: $\vec{j} = \sigma \vec{E} \rightarrow V = IR$

• Conductivitat: $\sigma = \frac{ne^2\tau}{m} \equiv \frac{1}{\rho} = \frac{\ell}{AR}$
 n : densitat de portadors
 τ : temps lliure mitjà dels portadors
 ρ : resistivitat del material

- ♣ El model porta a la llei d'Ohm
- ♠ El model no explica l'existència de materials la σ dels quals augmenta amb la temperatura \rightarrow model quàntic

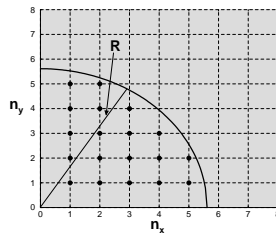
4.3. MODEL D'ELECTRONS LLIURES

- Electrons menys lligats: partícules en una caixa de potencial tridimensional:

$$\psi_{n_x, n_y, n_z} = \left(\sqrt{\frac{2}{L}} \right)^3 \sin\left(\frac{n_x \pi x}{L}\right) \sin\left(\frac{n_y \pi y}{L}\right) \sin\left(\frac{n_z \pi z}{L}\right)$$

$$E_{n_x, n_y, n_z} = \frac{\hbar^2 \pi^2}{2mL^2} (n_x^2 + n_y^2 + n_z^2)$$

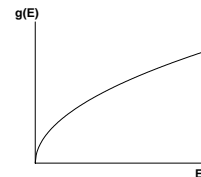
- Nombre d'estats amb energia $\leq E$:



$$N = \frac{L^3 (2m)^{3/2}}{3\pi^2 \hbar^3} E^{3/2}$$

- Densitat d'estats $g(E)$: nombre d'estats per unitat d'energia

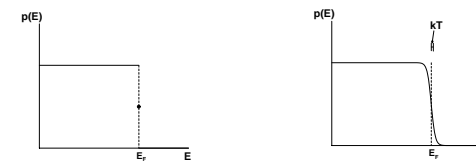
$$g(E) = \frac{L^3 (2m)^{3/2}}{2\pi^2 \hbar^3} E^{1/2}$$



Slide 31

- Funció de distribució de Fermi-Dirac (1926):

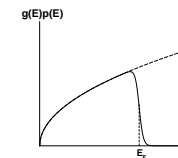
$$p(E) = \frac{1}{\exp((E - E_F)/kT) + 1}$$



$T = 0$

$T \neq 0$

- Energia de Fermi: $E_F = \frac{\hbar^2}{2m} (3\pi^2 n_e)^{2/3}$
- Origen de la resistència elèctrica: dispersió
 - per imperfeccions (independent de T)
 - per fonons (depenent de T)
- Nombre d'estats ocupats per unitat d'energia:

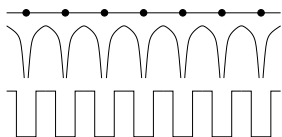


- Electrons que contribueixen a la conducció: $E \sim E_F$

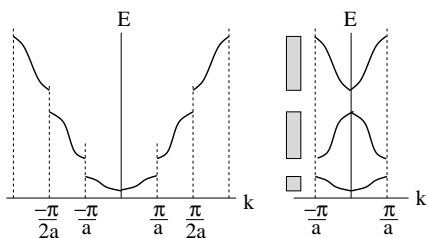
Slide 32

4.4. BANDES D'ENERGIA

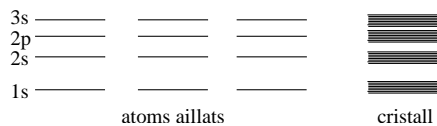
- Model de Kronig-Penney:



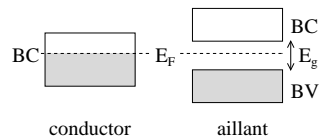
- Espectre electrònic → bandes permeses i prohibides



- Bandes d'energia com a resultat del solapament de funcions d'ona + principi d'exclusió de Pauli



- Conductors i aïllants:



Slide 33

4.5. SUPERCONDUCTIVITAT

- Superconductors (Kamerlingh Onnes, 1911): per $T < T_c$
 - la seva resistència elèctrica és \sim nul·la
 - rebutgen els camps magnètics al seu interior (efecte Meissner)

- Temperatures de transició:

Substància	T_c (K)	Substància	T_c (K)
Cu	<0.05	Pb	7.2
Al	1.2	Nb ₃ Ge	23
In	3.4	YBa ₂ Cu ₃ O ₇	90

- Transició conductor-superconductor: canvi en la estructura electrònica

- Teoria BCS (Bardeen, Cooper y Schrieffer, 1957):

- Parells de Cooper
 - * Dos electrons lligats per fonons
 - * No experimenten dispersió
- Estat coherent de llarg abast

- Quantització del flux magnètic en un anell superconductor:

$$\Phi = n\Phi_0, \quad \Phi_0 = h/2e = 2.1 \cdot 10^{-15} \text{ Wb}$$

- Dispositius SQUID: mesura de camps magnètics febles

Slide 34

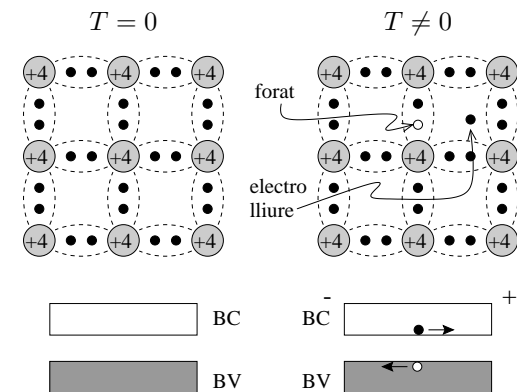
5. FÍSICA DELS SEMICONDUCTORS

- 6.1. Electrons i forats.
- 6.2. Semiconductors intrínsecs.
- 6.3. Semiconductors extrínsecs.
- 6.4. Conducció sota desequilibri estacionari.
- 6.5. Efecte Hall.
- 6.6. Excès de portadors.

Slide 35

6.1. ELECTRONS I FORATS

- Semiconductors: cristalls amb la BV plena, i $E_g \sim 1 \text{ eV}$
- Propietats distintives dels semiconductors:
 - La seva conductivitat augmenta amb la temperatura.
 - Els portadors de càrrega poden ser positius o negatius.
- Electrons i forats:



- Els forats es comporten com partícules de massa efectiva negativa.

Slide 36

6.2. SEMICONDUCTORS INTRÍNSECOS

- Concentració d'electrons a BC: $n = N_c e^{-(E_c - E_F)/kT}$
 on $N_c = 2 \left(\frac{2\pi m_n kT}{h^2} \right)^{3/2}$: densitat efectiva d'estats a BC
- Concentració de forats a BV: $p = N_v e^{-(E_F - E_v)/kT}$
 on $N_v = 2 \left(\frac{2\pi m_p kT}{h^2} \right)^{3/2}$: densitat efectiva d'estats a BV
- Semiconductor pur: $n = p \rightarrow$ intrínsec
- Posició del nivell de Fermi a un semiconductor intrínsec:

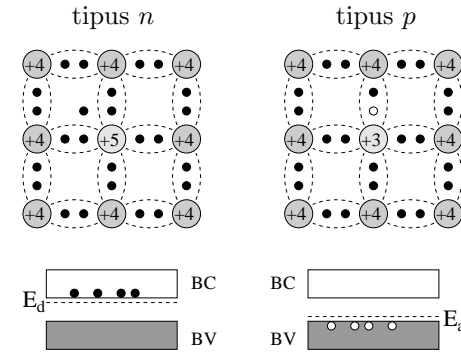
$$E_F = \frac{E_c + E_v}{2} - \frac{3}{4} kT \ln \frac{m_n}{m_p}$$

- Llei d'acció de masses: $np = n_i^2$
 essent $n_i = \sqrt{N_c N_v} \exp(-E_g/kT)$

6.3. SEMICONDUCTORS EXTRÍNSECOS

- Semiconductor dopat amb impureses \rightarrow extrínsec
- Tipus d'impureses:
 - Donadores (grup V): P, As, Sb \rightarrow tipus n
 - Acceptores (grup III): B, Al, Ga \rightarrow tipus p

Slide 37

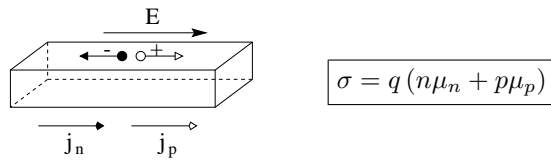


- Portadors majoritaris: electrons (semiconductor tipus n)
 forats (semiconductor tipus p)
- Ecuacions del semiconductor extrínsec:
 - Llei d'acció de masses: $np = n_i^2$
 - Neutralitat elèctrica: $p + N_d = n + N_a$
- Semiconductors de tipus n :
 - Concentració de portadors: $n \approx N_d, p \approx n_i^2/N_d$
 - Posició del nivell de Fermi: $E_F = E_c - kT \ln(N_c/N_d)$
- Semiconductors de tipus p :
 - Concentració de portadors: $p \approx N_a, n \approx n_i^2/N_a$
 - Posició del nivell de Fermi: $E_F = E_v + kT \ln(N_v/N_a)$
- Altres orígens de nivells en el gap: excitons, impureses

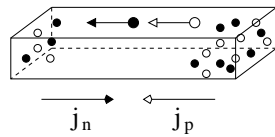
Slide 38

6.4. CONDUCCIÓ SOTA DESEQUILIBRI ESTACIONARI

- Conducció per arrossegament → mobilitat: $\mu = \frac{q\tau}{m}$



- Conducció per difusió → coeficient de difusió: D



- Densitat de corrent amb arrossegament i difusió:

$$j_n = qn\mu_n E + qD_n \frac{dn}{dx}$$

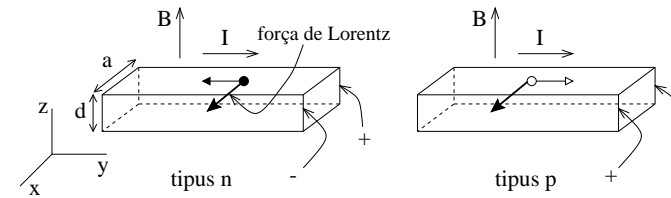
$$j_p = qp\mu_p E - qD_p \frac{dp}{dx}$$

- Relacions d'Einstein:

$$\frac{D_n}{\mu_n} = \frac{D_p}{\mu_p} = \frac{kT}{q}$$

6.5. EFECTE HALL

- Efecte Hall: influència d'un camp magnètic sobre el corrent elèctric a un material
- Utilitats: mesura de B , n (p), μ



- Tensió Hall: $V_H = \frac{IB}{Mqd}$

- Tipus de semiconductor:
 - $V_H > 0$ → semiconductor de tipus p
 - $V_H < 0$ → semiconductor de tipus n

- Constant de Hall: $R_H = \frac{V_H d}{IB}$ → $\mu = \sigma R_H$

6.6. EXCÈS DE PORTADORS

- Semiconductor en equilibri: $g = r$
 - ◊ $g \rightarrow$ generació tèrmica de parells electró-forat
 - ◊ $r \rightarrow$ recombinació de parells:
 - * directa: de BC a BV directament
 - * indirecta: mitjançant centres de recombinació
- Injecció de portadors \rightarrow semiconductor fora d'equilibri
 - generació de parells electró-forat: elèctrica o òptica
 - recombinació de parells: radiativa o no radiativa
- Relaxació temporal de portadors minoritaris:

$$\frac{d\Delta n}{dt} = -Bp\Delta n \quad \longrightarrow \quad \Delta n(t) = \Delta n(0) e^{-t/\tau_n}$$

on $\tau_n = 1/Bp$: vida mitja de recombinació

- Relaxació espacial de portadors minoritaris:

$$\frac{d^2\Delta p}{dx^2} - \frac{1}{D_p\tau_p}\Delta p \quad \longrightarrow \quad \Delta p(x) = \Delta p(0) e^{-x/L_p}$$

on $L_p = \sqrt{D_p\tau_p}$: longitud de difusió dels portadors